

Transferência de Calor

1) Introdução: Paulo Akira 2018.1

Calor: é a energia transferida devido a uma diferença de temperatura. ~~no trabalho é todo o resto!~~
 Nunca esquecer de fazer o balanço de energia

Formas de Transferência de Calor: condução, convecção, radiação.

Regime permanente: $\frac{dE}{dt} = 0 \therefore \frac{dQ}{dt} = \dot{Q} - \dot{W}$

Consideramos que nada varia no tempo para facilitar.

Mecanismos de Transferência de calor: - problema

• Condução: transferência em sólidos ou fluidos estacionários devido ao movimento aleatório de átomos, moléculas e/ou elétrons.
 (Parcela pequena)

• Convecção: transferência devido ao movimento combinado do movimento global e aleatório do fluido.
 (efeito do movimento)

• Radiação: energia emitida pela matéria devido a mudanças na configuração de seus elétrons e transportadas por ondas eletromagnéticas (ou fótons)

Obs: condução e convecção necessitam de meios materiais. Já a radiação não!

→ Condução: (2ª Lei)
 ↳ transferência de energia de partículas mais energéticas para as de menor energia!
 (alta temperatura para baixa temperatura)
 ↳ colisões

Lei de Fourier: taxa de transf. de calor

$\dot{Q} = -kA \frac{\Delta T}{L}$
 ↳ espessura $[q] = J/s = W$

Condutividade térmica k : áreas de transferência A
 coeficiente de material (W/mK)

Fluxos de calor

$q'' = -k \cdot \frac{\Delta T}{L}$
 $[q''] = \frac{J}{m^2 \cdot s} = \frac{W}{m^2}$

Obs¹: ar é ótimo isolante térmico!
Obs²: em qualquer processo de colisão, a transferência de energia se dá no sentido de baixar a temperatura das partículas quentes

→ Convecção:
 ↳ combinação dos efeitos causados pelo movimento molecular e movimento global.
 (na verdade é efeito de ambos combinado da condução na superfície e movimento de massa)

$q = h \cdot A \cdot (T_s - T_\infty)$
 ↳ Temperatura da superfície T_s
 ↳ Temperatura "do ar" T_∞
 ↳ coeficiente de TC por convecção $(\frac{W}{m^2K})$

Não é propriedade do material, está relacionado com o escoamento.

$q'' = h \cdot (T_s - T_\infty)$
 ↳ movimento do fluido é gerado por fonte externa (vento, bomba, etc)

Tipos de convecção: forçada (meio externo), natural (empuxo) e mista

ocorre simplesmente devido a diferença de densidade ocasionada pela diferença de temperatura.
 ↳ eficiente no vácuo!

→ Radiação:
 ↳ toda matéria a uma temperatura não nula emite energia por radiação.

↳ energia emitida é transmitida por ondas eletromagnéticas ou fótons.

↳ ocorre devido a uma mudança na configuração eletrônica dos átomos ou moléculas.

Lei de Stefan-Boltzmann (corpo negro):

$\dot{Q} = \sigma \cdot A \cdot T_s^4$ ou $q'' = \sigma T_s^4$

↳ cte de Boltzmann $(5,670 \cdot 10^{-8} W/m^2K^4)$

Fluxo Líquido de Radiação para uma superfície:

$q''_{rad} = \epsilon \cdot \sigma \cdot (T_s^4 - T_{vis}^4)$
 ↳ emissividade da superfície $(0 \leq \epsilon \leq 1)$
 ↳ Kelvin!

Obs: a emissividade está relacionada com o fato do corpo real não emitir tanta energia quanto o corpo negro por radiação.

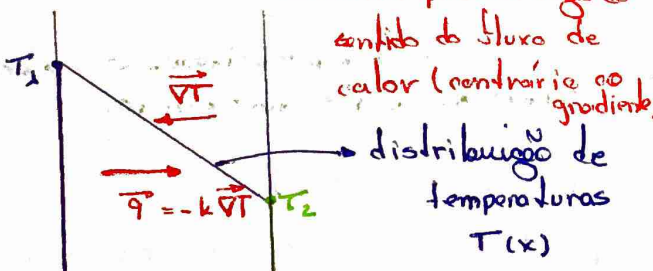
II) Equação da Condução

→ Lei de Fourier: *Descobrir o fluxo de calor (necessário saber a distribuição de temperatura)*

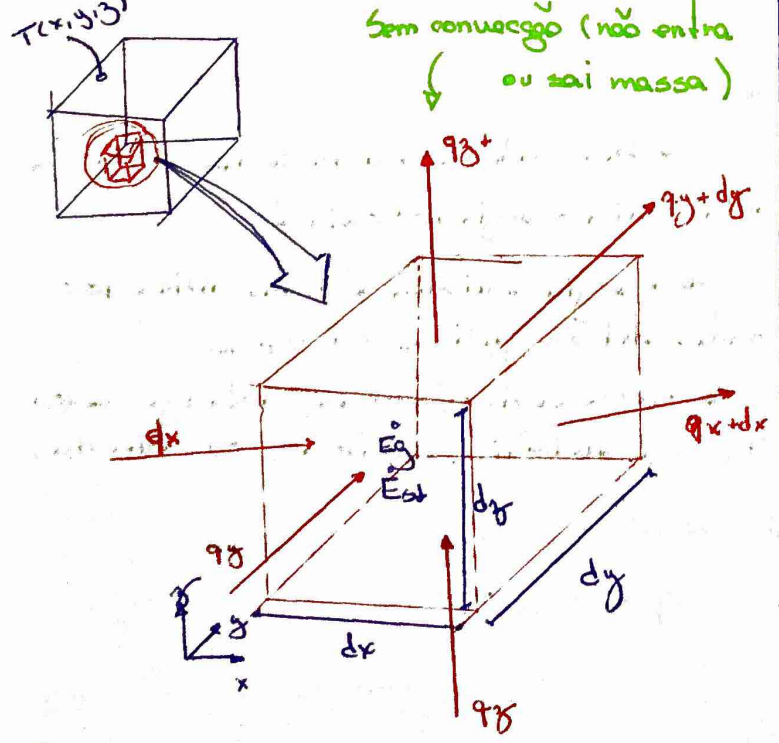
Equação que permite o cálculo do fluxo de calor por condução a partir do conhecimento da distribuição de temperatura no meio.

Calor vai da superfície de maior para menor temp.

$$\vec{q}'' = -k \nabla T = -k \left(\frac{\partial T}{\partial x}, \frac{\partial T}{\partial y}, \frac{\partial T}{\partial z} \right)$$



→ Equação geral da condução *Descobrir a distribuição de temperatura (coordenadas cartesianas)*



Lei de Fourier:

$$\vec{q}'' = - \left(k \frac{\partial T}{\partial x} \vec{i} + k \frac{\partial T}{\partial y} \vec{j} + k \frac{\partial T}{\partial z} \vec{k} \right)$$

E_g = energia gerada em taxa ($J/s = W$)

reações químicas, reações nucleares, ondas eletromagnéticas (radiação)

Balanco energético:

$$q_x - q_{x+dx} + q_y - q_{y+dy} + q_z - q_{z+dz} + E_g = E_{st} \quad (1)$$

onde

$$\left\{ \begin{aligned} E_g &= \dot{q} \, dx \, dy \, dz \\ E_{st} &= \rho c_p \frac{\partial T}{\partial t} \, dx \, dy \, dz \end{aligned} \right.$$

Expansão de Taylor (desprezar os termos de ordem superior):

$$\begin{aligned} q_{x+dx} &= q_x + \frac{\partial q_x}{\partial x} \cdot dx \\ q_{y+dy} &= q_y + \frac{\partial q_y}{\partial y} \cdot dy \\ q_{z+dz} &= q_z + \frac{\partial q_z}{\partial z} \cdot dz \end{aligned}$$

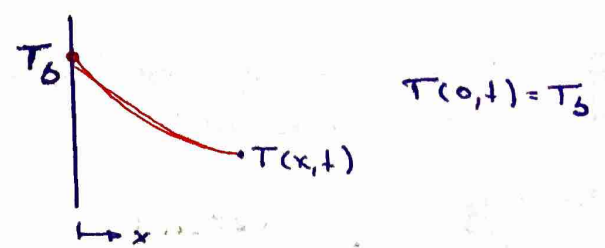
Substituindo em (1) e aplicando a Lei de Fourier para cada q e dividindo por volume isotrópico

$$\frac{\partial}{\partial x} \left(k \frac{\partial T}{\partial x} \right) + \frac{\partial}{\partial y} \left(k \frac{\partial T}{\partial y} \right) + \frac{\partial}{\partial z} \left(k \frac{\partial T}{\partial z} \right) + \dot{q} = \rho c_p \frac{\partial T}{\partial t}$$

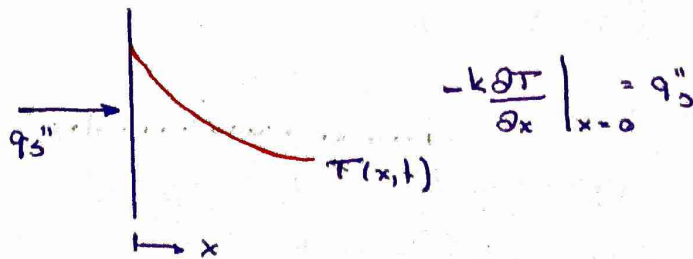
→ Equação geral da condução

Condição de Contorno:

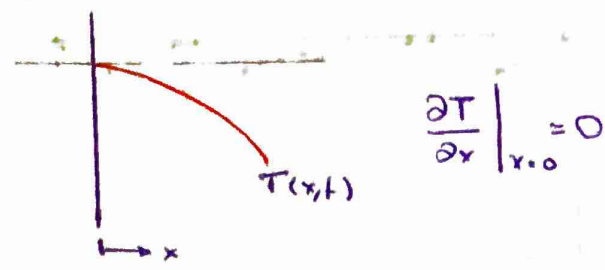
- Temperatura superficial constante



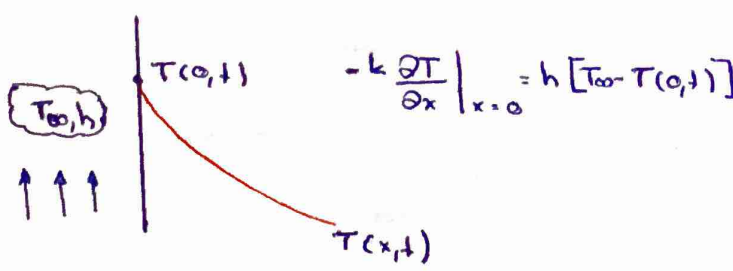
- Fluxo de calor etc:



• Superfície adiabática:



• Convecção na superfície:



Obs: equação geral da condução:

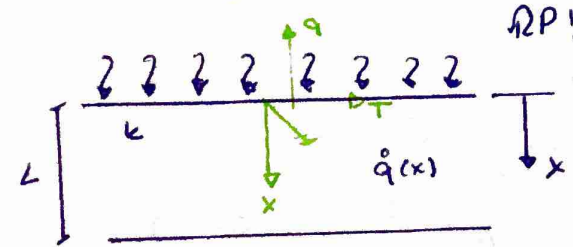
$$\frac{\partial}{\partial x} \left(k \frac{\partial T}{\partial x} \right) + \frac{\partial}{\partial y} \left(k \frac{\partial T}{\partial y} \right) + \frac{\partial}{\partial z} \left(k \frac{\partial T}{\partial z} \right) = \rho c_p \frac{\partial T}{\partial t} + \dot{q}$$

Taxa líquida de transferência de energia por condução para o interior de um volume de controle unitário nas faces

Taxa volumétrica de geração de energia térmica

Taxa de variação da energia térmica acumulada no interior do VC.

Exemplo (2.28, 6º ed)



$$T(x) = -\frac{A}{ka^2} e^{-ax} + Bx + C$$

a) Fluxo de calor nas faces:

Lei de Fourier: $q_x'' = -k \left[\frac{dT}{dx} \right] = -k \left[-\frac{A}{ka^2} (-a) e^{-ax} + B \right]$

$x=0: q_x''(0) = -k \left[+\frac{A}{ka} \cdot 1 + B \right] = -\left[\frac{A}{a} + kB \right]$

$$x=L: q_x''(L) = -k \left[+\frac{A}{ka} e^{-aL} + B \right] = -\left[\frac{A}{a} e^{-aL} + kB \right]$$

b) Geração interna:

Eq. geral da condução:

$$\frac{d}{dx} \left(\frac{dT}{dx} \right) + \frac{\dot{q}}{k} = 0 \Rightarrow \dot{q} = -k \frac{d}{dx} \left(\frac{dT}{dx} \right)$$

$$\dot{q}(x) = -k \frac{d}{dx} \left[+\frac{A}{ka} e^{-ax} + B \right] = Ae^{-ax}$$

e) Energia absorvida:

Nas faces

Balanco de Energia: $\dot{E}_{in} - \dot{E}_{out} + \dot{E}_g = 0$

$$\dot{E}_g = -\dot{E}_{in} + \dot{E}_{out} = -q_x''(0) + q_x''(L) = \frac{A}{a} (1 - e^{-aL})$$

Por integração:

q-dot é volumétrico então para br o eixo b do volume, deve integrar!

$$\dot{E}_g = \int_0^L \dot{q}(x) dx = \int_0^L A e^{-ax} dx = -\frac{A}{a} [e^{-ax}]_0^L = \frac{A}{a} (1 - e^{-aL})$$

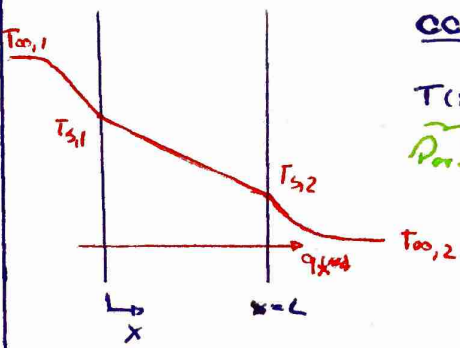
III) Condução de Calor Unidimensional em RP em g

A direção mais signifi. direcional é relacionada com o maior gradiente!

$$\frac{\partial}{\partial x} \left(k \frac{\partial T}{\partial x} \right) + \frac{\partial}{\partial y} \left(k \frac{\partial T}{\partial y} \right) + \frac{\partial}{\partial z} \left(k \frac{\partial T}{\partial z} \right) + \dot{q} = \rho c_p \frac{\partial T}{\partial t}$$

$$\Rightarrow \frac{d^2 T}{dx^2} = 0 \rightarrow T(x) = ax + b$$

→ Parede Plana



CC: $T(0) = T_{s,1}, T(L) = T_{s,2}$

$$T(x) = T_{s,1} + (T_{s,2} - T_{s,1}) \frac{x}{L}$$

Perfil de temp.

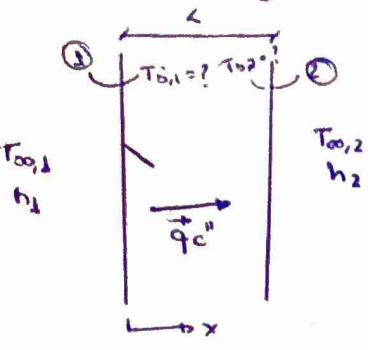
DT = parede plana

Aplicando a Lei de Fourier: $q_x'' = -k \frac{dT}{dx} = \frac{k}{L} (T_{s,1} - T_{s,2})$

se quando em RP e sem geração
Analogia com circuito elétrico: $q_x'' = \frac{(T_{s,1} - T_{s,2})}{R}$

onde $R = \frac{L}{k}$

Exemplo: convergência esperada (ex 3.3)



Solução:

$$T(x) = c_1 x + c_2$$

cc:

$$x=0: \quad -k \frac{dT}{dx} \Big|_{x=0} = h_1 (T_{\infty,1} - T_{s,1})$$

Fluxo!

Fluxos na primeira parede devem ser iguais (vale sempre, pois, a parede não acumula massa)

$$-k c_1 = h_1 (T_{\infty,1} - T_{s,1}) \quad (1)$$

$x=L$:

$$-k \frac{dT}{dx} \Big|_{x=L} = h_2 (T_{s,2} - T_{\infty,2})$$

$$-k c_1 = h_2 [(c_1 L + c_2) - T_{\infty,2}] \quad (2)$$

Substituindo (1) em (2):

$$c_1 = \frac{(T_{\infty,1} - T_{\infty,2})}{\left(\frac{-k}{h_1} - L - \frac{k}{h_2}\right)}$$

$$c_2 = T_{\infty,1} + \frac{k}{h_1} \left[\frac{T_{\infty,1} - T_{\infty,2}}{\left(\frac{-k}{h_2} - L - \frac{k}{h_1}\right)} \right]$$

$$\therefore T(x) = \frac{(T_{\infty,1} - T_{\infty,2})}{\left(\frac{-k}{h_2} - L - \frac{k}{h_1}\right)} x + T_{\infty,1} + \frac{k}{h_1} \left[\frac{(T_{\infty,1} - T_{\infty,2})}{\left(\frac{-k}{h_2} - L - \frac{k}{h_1}\right)} \right]$$

$$q_x''(x) = -k \frac{dT}{dx} = -k \cdot \frac{(T_{\infty,1} - T_{\infty,2})}{\left(\frac{-k}{h_2} - L - \frac{k}{h_1}\right)} =$$

$$= \frac{(T_{\infty,2} - T_{\infty,1})}{\left(\frac{1}{h_2} - \frac{L}{k} - \frac{1}{h_1}\right)}$$

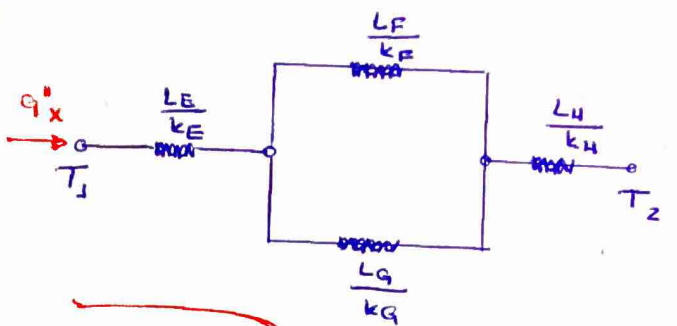
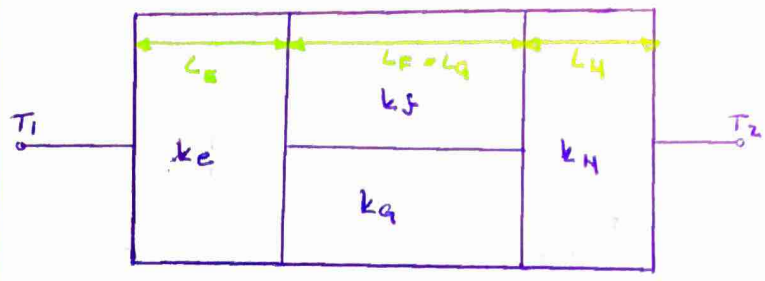
resistência a convergência

resistência a condução

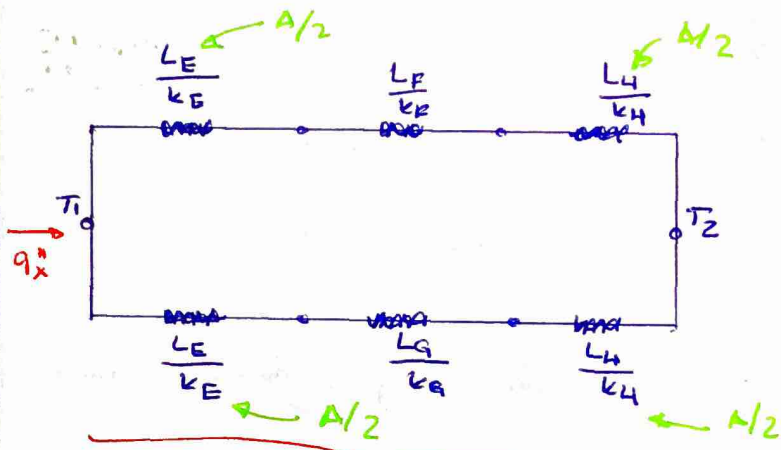
$$R_{tot} = \frac{1}{h_2} + \frac{L}{k} + \frac{1}{h_1} \quad q_x'' = \frac{T_{\infty,1} - T_{\infty,2}}{R_{tot}}$$

Paredes Compostas:

Problema bidimensional que pode ser aproximado por um problema unidimensional!

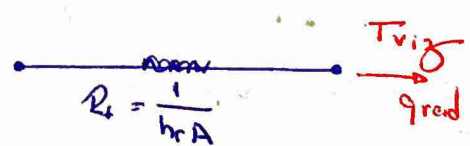


Superfícies Verticais Isotérmicas!



Superfícies Horizontais Adiabáticas!

Obs: caso haja radiação:

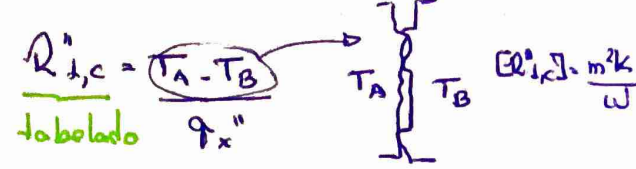


$$R_t = \frac{1}{hrA}, \text{ onde } hr = \epsilon \sigma (T_s + T_{vis})(T_s^2 + T_{vis}^2)$$

Resistência de contato:

Pontos de contato se entremetiam com interstícios que são preenchidos com um fluido. A transferência de calor é, portanto, devida a condução através do contato real e/ou a radiação/convergência nos interstícios. A resistência de contato pode ser vista como duas resisten-

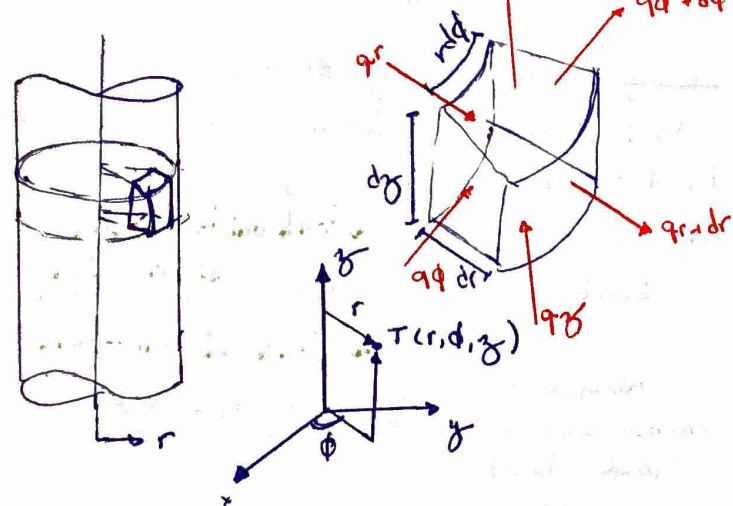
casos em paralelo (devido aos pontos de contato e devido aos interstícios).



→ sólidos cuja a condutividade é maior do que a do fluido intersticial, pode ter a resistência de contato reduzida com o aumento da área dos pontos em contato (aumentando a pressão de contato ou redução da rugosidade).

→ a resistência de contato pode ser diminuída pela seleção de um fluido com elevada condutividade térmica.

Coordenadas Cilíndricas :



Lei de Fourier: $\vec{q}'' = -k \nabla T = -k \left(\frac{\partial T}{\partial r} \vec{i} + \frac{1}{r} \frac{\partial T}{\partial \phi} \vec{j} + \frac{\partial T}{\partial z} \vec{k} \right)$

Operador Divergente:

$$\nabla \cdot (k \nabla T) = \frac{1}{r} \frac{\partial}{\partial r} \left(kr \frac{\partial T}{\partial r} \right) + \frac{1}{r} \frac{\partial}{\partial \phi} \left(k \frac{\partial T}{\partial \phi} \right) + \frac{\partial}{\partial z} \left(k \frac{\partial T}{\partial z} \right)$$

Caso particular: → a condução na direção radial

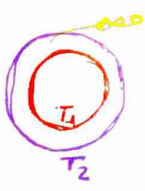
- RP
- Sem geração interna
- Superfícies interna e externa são isotérmicas

$$\frac{1}{r} \frac{\partial}{\partial r} \left(kr \frac{\partial T}{\partial r} \right) = 0$$

o sinal do polinômio é 2010!

Integrando uma vez: $r \frac{dT}{dr} = C_1$

Integrando novamente: $T = C_1 \ln r + C_2$



EC: $T(r_1) = T_1 = T(r_2) = T_2$

$$C_1 = \frac{T_1 - T_2}{\ln(r_1/r_2)}, \quad C_2 = T_2 - \frac{(T_1 - T_2) \ln r_2}{\ln(r_1/r_2)}$$

Logo: $T(r) = \frac{T_1 - T_2}{\ln(r_1/r_2)} \ln\left(\frac{r}{r_2}\right) + T_2$

Definida para $r_1 \neq 0$ e $r_2 \neq 0 \Rightarrow$ no centro temos ($r=0$) temos a solução trivial (no centro não podemos ter mudança de temperatura, pois, estamos em RP e não há geração).

Aplicando a Lei de Fourier:

$$q''_r = -k \frac{dT}{dr} = \frac{k}{r \ln(r_2/r_1)} (T_1 - T_2)$$

Nota que q'' depende de r. Logo, não faz sentido usar o q''

$$q_r = 2\pi r L \cdot q''_r = \frac{2\pi r L k}{\ln(r_2/r_1)} (T_2 - T_1) \Rightarrow \frac{1}{R}$$

$$\Rightarrow q_r = \frac{T_2 - T_1}{R}$$

Como a taxa não depende do raio então a analogia é válida.

No caso de convecção: $R_{convec} = \frac{1}{h 2\pi r L}$

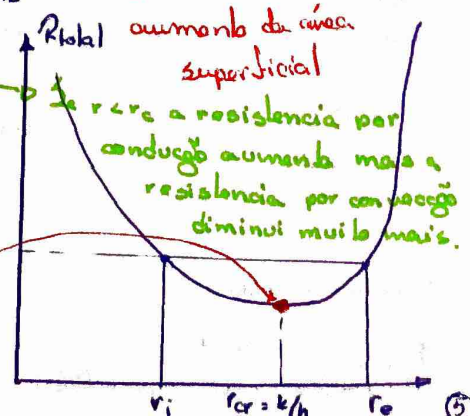
Raio Crítico :

$$R_{TOTAL} = \frac{\ln(r/r_1)}{2\pi k} + \frac{1}{2\pi r h}$$

é do isolante!

$$r_{critico} = \frac{k}{h}$$

Há um aumento da R_{TOTAL} quando $r > r_{cr}$ (transferência diminui)
 No r_{cr} , a transferência é máxima!

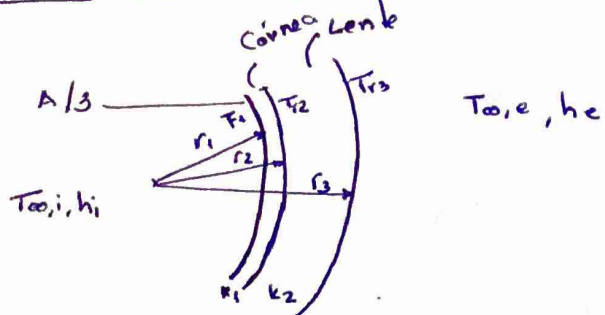


Em sistemas radiativos não usar o fluxo (depende do meio), melhor usar a potência!

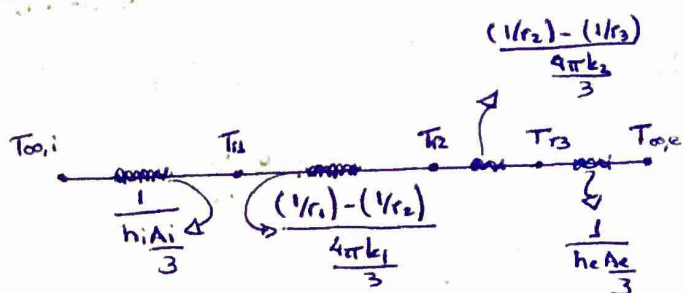
Exemplo (3.4-6ª ed):

a) Como a radiação é absorvida pela interface e não pelos sólidos então não temos geração de energia (as equações diferenciais ficam com $\frac{d}{dx}(\frac{kdT}{dx}) = 0$)

Exemplo (3.64-6ª ed)



a) Circuito com a lente



Resistências:

Conv. Interna: $\frac{1}{hiAi/3} = \frac{1}{12 \cdot 4\pi \cdot (0,0002)^2} = 191,22 \text{ (W/K)}$

Cond. Cápsula: $\frac{(1/r1) - (1/r2)}{4\pi k1/3} = \frac{(1/0,0102) - (1/0,0123)}{4\pi/3} = 0,35$
 $= 13,16 \text{ (W/K)}^{-1}$

Cond. Lente: $\frac{(1/0,0123) - (1/0,0165)}{4\pi \cdot 0,8/3} = 5,41 \text{ (W/K)}^{-1}$

Conv. Externa com a lente: $\frac{1}{heAe} = \frac{1}{6 \cdot 4 \cdot \pi \cdot 0,0102^2} = 246 \text{ (W/K)}$

Convec. Externa com a lente: $\frac{1}{6 \cdot (4\pi \cdot 0,0165^2)/3} = 146$

b) Com a lente:

$q = \frac{32-21}{191,27 + 13,16 + 5,41 + 146} = 44,9 \text{ mW}$

Som a lente:

$q = \frac{37-21}{191,22 + 13,16 + 246} = 35,4 \text{ mW}$

c) $r_{cr} = \frac{2k}{h} = \frac{2 \cdot 0,8}{6} = 0,266 \text{ m}$ *- para esferas!*

Como $r3 < r_{cr}$ então a resistência de condução aumenta mas a resistência de convecção aumenta ainda mais, aumentando a transferência de calor.

IV) Condução de Calor Uni. em 2D com geração de energia

Coordenadas: *unidimensional = 2D.*

Cartesianas: $k \frac{d^2T}{dx^2} + \dot{q} = 0$

Cilíndricas: $\frac{k}{r} \frac{d}{dr} (r \frac{dT}{dr}) + \dot{q} = 0$

Esféricas: $\frac{k}{r^2} \frac{d}{dr} (r^2 \frac{dT}{dr}) + \dot{q} = 0$

Geração interna de energia térmica:

↳ Fonte de energia térmica: conversão a partir de outra forma de energia

Exemplo:

Efeito Joule: $\dot{q} = I^2 \cdot R_{el}$

↳ fonte uniformemente distribuída
 ↳ fonte não uniforme

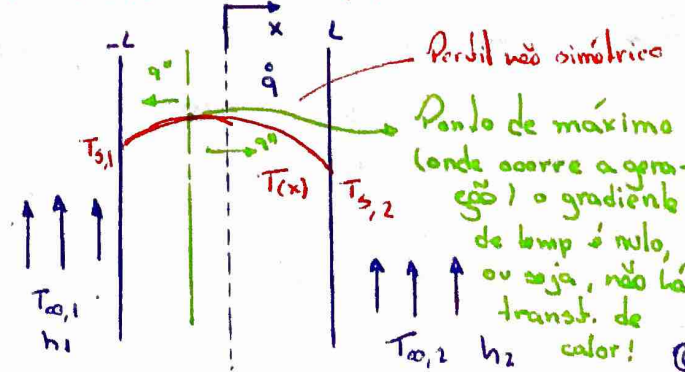
Absorção de radiação em meio semi-transparente (parede plana): $\dot{q} \propto \exp(-\alpha x)$

↳ Parede Plana com geração:

$\frac{d^2T}{dx^2} + \frac{\dot{q}}{k} = 0 \Rightarrow \frac{d^2T}{dx^2} = -\frac{\dot{q}}{k} \Rightarrow$

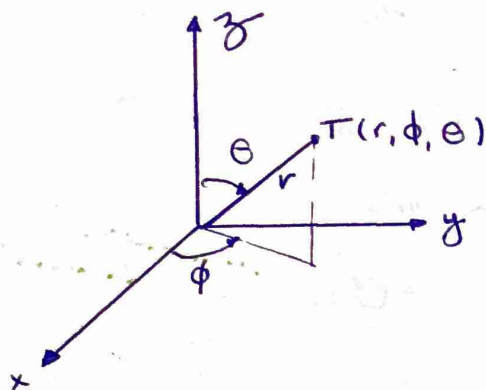
$\Rightarrow \frac{dT}{dx} = -\frac{\dot{q}}{k} x + C_1 \Rightarrow T(x) = -\left(\frac{\dot{q}}{2k}\right) x^2 + C_1 x + C_2$
parábola

Como q_x varia com x então não vale a analogia com a resistência elétrica!



Para achar onde está acontecendo a geração térmica
 fazer $\frac{\partial T}{\partial x} = 0$

Obs: coordenadas esféricas



Lei de Fourier: $\vec{q} = -\left(k \frac{\partial T}{\partial r} \vec{i} + k \frac{\partial T}{r \partial \theta} \vec{j} + k \frac{\partial T}{r \sin \theta \partial \phi} \vec{k}\right)$

Equação Geral:

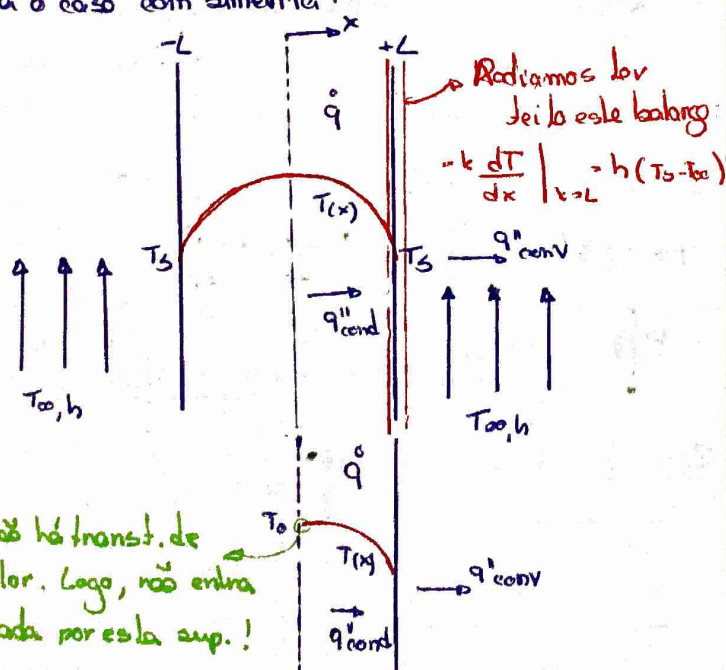
$$\frac{1}{r^2} \frac{\partial}{\partial r} \left(k r^2 \frac{\partial T}{\partial r} \right) + \frac{1}{r^2 \sin^2 \theta} \frac{\partial}{\partial \phi} \left(k \frac{\partial T}{\partial \phi} \right) + \frac{1}{r^2 \sin \theta} \frac{\partial}{\partial \theta} \left(k \sin \theta \frac{\partial T}{\partial \theta} \right) + \dot{q} = \rho c_p \frac{\partial T}{\partial t}$$

Se não houver geração interna:

$$R_{cond} = \frac{1}{4\pi k} \left(\frac{1}{r_1} - \frac{1}{r_2} \right)$$

$$R_{conv} = \frac{1}{h 4\pi r^2}$$

Para o caso com simetria:



Não há transf. de calor. Logo, não entra nada por esta sup.!

$$T(x) = \frac{\dot{q} L^2}{2k} \left(1 - \frac{x^2}{L^2} \right) + T_s^2$$

Balanco superficial: $-E_{out} + E_g = 0 \Rightarrow$

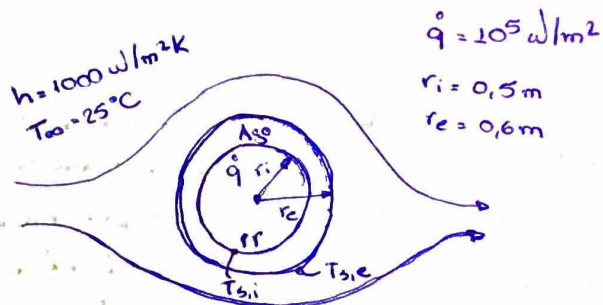
$$\Rightarrow -h A_s (T_s - T_{\infty}) + \dot{q} A_s L = 0 \Rightarrow$$

$$\Rightarrow T_s = T_{\infty} + \frac{\dot{q} L}{h}$$

Exemplo (3.104, 7ed)

$$k_{rr} = 20 \text{ W/mK}$$

$$k_{agg} = 15 \text{ W/mK}$$



Solução:

para a casca de aço:

$$q_r = \frac{T_{s,i} - T_{s,e}}{\frac{1}{4\pi k_{agg}} \left(\frac{1}{r_i} - \frac{1}{r_e} \right)}$$

para o fluido:

$$q_r = \frac{T_{s,e} - T_{\infty}}{\frac{1}{h A_e}}$$

Logo,

$$q_r = \frac{T_{s,i} - T_{\infty}}{\frac{1}{h A_e} + \frac{1}{4\pi k_{agg}} \left(\frac{1}{r_i} - \frac{1}{r_e} \right)} \quad (3)$$

Para o rejeito radioativo:

$$q_{r,r_i} = \dot{q} V \Rightarrow q_{r,r_i} = \dot{q} \frac{4}{3} \pi r_i^3 \quad (4)$$

Como temos RP,

$$(2) = (4) \Rightarrow h 4\pi r_e^2 (T_{s,e} - T_{\infty}) = \dot{q} \frac{4}{3} \pi r_i^3 \Rightarrow$$

$$\Rightarrow T_{s,e} = 36,57^\circ\text{C}$$

Assim,

$$q_r = 52359,88 \Rightarrow 52359,88 = (3) \Rightarrow$$

$$\Rightarrow T_{s,i} = 128,7^\circ\text{C}$$

$$e) \frac{1}{r^2} \left(\frac{\partial}{\partial r} \left(r^2 \frac{\partial T}{\partial r} \right) \right) + \frac{\dot{q}}{k} = 0$$

Integrar

$$r^2 \frac{\partial T}{\partial r} = -\frac{1}{3} \frac{\dot{q}}{k} r^3 + C_1$$

Integrar

$$T(r) = -\frac{1}{3} \cdot \frac{1}{2} \frac{\dot{q}}{k} \cdot r^2 - \frac{C_1}{r} + C_2$$

$$T(r) = -\frac{1}{6} \frac{\dot{q}}{k} r^2 - \frac{C_1}{r} + C_2$$

se $C_1 \neq 0$ a temp. tende a infinito quando $r=0$ (o que é impossível)

em $r=0, \frac{\partial T}{\partial r} = 0 \rightarrow C_1 = 0$

devido a simetria do problema

em $r=r_i \rightarrow T(r_i) = T_{s,i} = 128,7^\circ\text{C}$ (temp. na sup. da

$$T(r_i) = 128,7 = -\frac{1}{6} \cdot \frac{100000}{20} \cdot 0,5^2 + C_2 \Rightarrow \text{resolver a equação!}$$

$$\rightarrow C_2 = 337,03$$

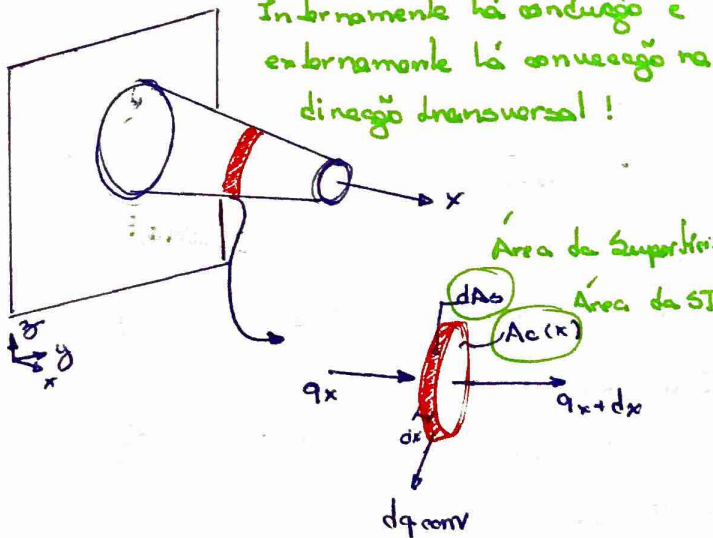
$$T(r=0) = 337,03^\circ\text{C}$$

V) Superfícies esbeltas

Hipóteses:

Objetivo: aumentar a taxa de transferência de calor por convecção e/ou radiação para a vizinhança

- Regime permanente
- Condução unidimensional
- Condutividade térmica constante
- Sem geração de calor
- Radiação desprezível em face da convecção



Obtendemos uma temperatura que descreve toda a peça embora consideremos só a direção x .

Perímetro (aprox. área)

Balanzó energético: $q_x - q_{x+dx} - dq_{conv} = 0$

Da Série de Taylor: $q_x - q_{x+dx} + \frac{dq_x}{dx} \cdot dx - hP(T-T_\infty) \cdot dx = 0$

Aplicando a Lei de Fourier: $-\frac{d}{dx} \left(-k A_0 \frac{dT}{dx} \right) dx - hP(T-T_\infty) dx = 0$

$$k \frac{dA_c}{dx} \left(\frac{dT}{dx} \right) + k A_c \frac{dT}{dx^2} - hP(T-T_\infty) = 0$$

Se considerarmos $A_c = cte$:

$$\frac{d^2 T}{dx^2} - \frac{h}{k A_c} \cdot \frac{dA_s}{dx} (T-T_\infty) = 0 \Rightarrow$$

$$\Rightarrow \frac{d^2 T}{dx^2} - \frac{hP}{k A_c} (T-T_\infty) = 0$$

Define-se: $m^2 = \frac{hP}{k A_c}$

$\Theta = T - T_\infty$ (excesso de temperatura) $\Rightarrow \frac{d^2 \Theta}{dx^2} - m^2 \Theta = 0$ (temperatura da aleta!)

Solução:

$$\Theta = C_1 e^{mx} + C_2 e^{-mx}$$

$$\Theta = C_3 \sinh(mx) + C_4 \cosh(mx)$$

Na base: $\Theta(0) = T_b - T_\infty = \Theta_b$

Podemos calcular o calor transferido pela aleta de dois modos: **vale sempre!**

Convecção: $q_a = \int_{A_{sup}} h \Theta(x) dA_s$

Condução: $q_a = -k A_c \frac{d\Theta}{dx} \Big|_{x=0}$

Caso A: convecção na ponta $\rightarrow -k \frac{d\Theta}{dx} \Big|_{x=L} = h \Theta(L)$

Lembrando que na base $\Theta(0) = \Theta_b$, então

$$\frac{\Theta}{\Theta_b} = \frac{\cosh m(L-x) + h/km \cdot \sinh m(L-x)}{\cosh(mL) + h/km \sinh(mL)}$$

me mostra com a temperatura mudou em relação a temperatura da base

Cálculo do calor total transferido na aleta:

$$q_a = -k A_c \frac{d\Theta}{dx} \Big|_{x=0} = \frac{d\Theta}{dx} \cdot \frac{dT}{dx}$$

$$\Rightarrow q_a = \frac{M \sinh(mL) + h/km \cdot \cosh(mL)}{\cosh(mL) + h/km \sinh(mL)}, \text{ onde } M = k A_c \Theta_b$$

Caso B: adiabática $\rightarrow -k \frac{d\Theta}{dx} \Big|_{x=L} = 0$

$$\frac{\Theta}{\Theta_b} = \frac{\cosh[m(L-x)]}{\cosh(mL)}$$

$$q_a = M \cdot lgh \text{ (mL)}, \text{ onde } M = A_c k m \cdot \Theta_b$$

Caso C: Temperatura dada na ponta $\rightarrow \Theta(L) = \Theta_L$

$$\frac{\Theta}{\Theta_b} = \frac{\Theta_L / \Theta_b \cdot \sinh(mx) + \sinh[m(L-x)]}{\sinh(mL)}$$

$$q_a = \frac{M [\cosh(mL) - \Theta_L / \Theta_b]}{\sinh(mL)}$$

Caso D: aleta infinita (mL > 2,65) $\rightarrow \Theta(L) = 0$

$$\frac{\Theta}{\Theta_b} = e^{-mx}$$

$$q_a = M$$

Desempenho das aletas

A aleta representa uma resistência condutiva à transferência de calor na superfície original. Por isso, não há garantias que a taxa de transferência de calor seja aumentada com o uso de aletas.

Eficiência = $\frac{\text{calor transferido pela aleta}}{\text{calor transferido sem aleta}}$

Uso da aleta só é justificável se $\xi \geq 1$.

$$\xi = \frac{q_a}{h A_c \Theta_b} \rightarrow \xi = \frac{\Theta_b \sqrt{h P k A_c}}{h A_c \Theta_b} = \sqrt{\frac{P k}{h A_c}}$$

Eficiência = $\frac{\text{calor transferido pela aleta}}{\text{máximo calor que pode ser transferido se a aleta estivesse na temp. da base}}$

$$\eta_a = \frac{q_a}{h A_s \Theta_b} \rightarrow \eta_a = \frac{M lgh(mL)}{h A_s \Theta_b} \rightarrow \eta_a = \frac{C \sqrt{h P k A_c} lgh(mL)}{h P L \Theta_b}$$

$$\Rightarrow \eta_a = \frac{lgh(mL)}{mL}$$

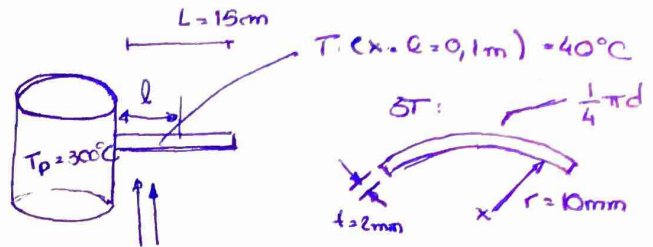
Para não precisarmos trabalhar com o Caso A (convecção na ponta) podemos "corrigir" o comprimento da aleta para trabalharmos com o caso B (aleta com ponta adiabática) e aprox é válida pois compensamos a convecção com uma aleta mais longa!

$$\eta_a = \frac{lgh(mL_c)}{mL_c}$$

$$A_p = L_c \cdot t; L_c = L + \frac{t}{2}; L_c = L + \frac{D}{4}$$

Validação: $\frac{ht}{k} \leq 0,0625$

Exemplo:



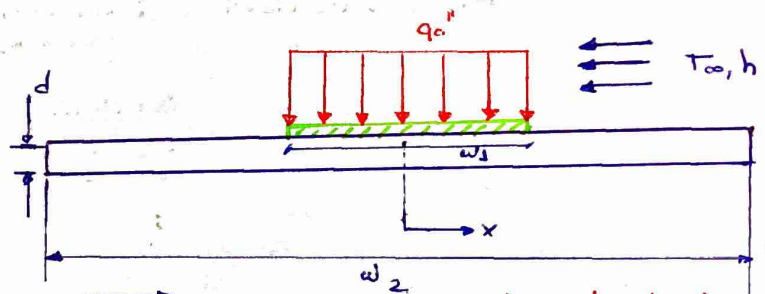
$h = 10 \text{ W/m}^2\text{°C}$
 $T_{amb} = 29\text{°C}$
 $\Theta_b = 280\text{°C}$

Cabo	$\frac{k}{\text{W/m°C}}$	$\frac{m}{\text{m}^{-1}}$	$\frac{hPk}{hAc}$	$T(x=L)$	$T(x=0)$
Vidro	0,8	118,68	0,025	20	20
Al	202	7,46	$9 \cdot 10^{-5}$	184	194
Cu	385	9,41	$5 \cdot 10^{-5}$	229	235
Ag	17	25,74	$11 \cdot 10^{-7}$	33	43

Utilizamos a aproximação adiabática para calcular as temperaturas

$$L_c = L + t/2 = 0,15 + 0,001$$

Exemplo: (ex 3,115, 6ª ed)



Se tivermos radiação:

Devido ao formato da fíb e a área de incidência, não temos uma direção significativa!

$$dq_{rad} = 2dx \cdot \epsilon \sigma (T_s^4 - T_{amb}^4)$$

Linearização

$$dq_{rad} = 2dx \cdot \epsilon \sigma (T_s - T_{amb}) (T_s^2 + T_{amb}^2) (T_s + T_{amb})$$

$hr = \epsilon k$
 $T_s = \text{temperatura inicial da superfície.}$

VI) Análise em regime transitório

Método da Análise Concentrada

$\nabla T = 0$ } Pela Lei de Fourier teríamos uma condutividade infinita.

Não há gradiente de temperatura dentro da peça! (toda peça está a mesma temperatura).

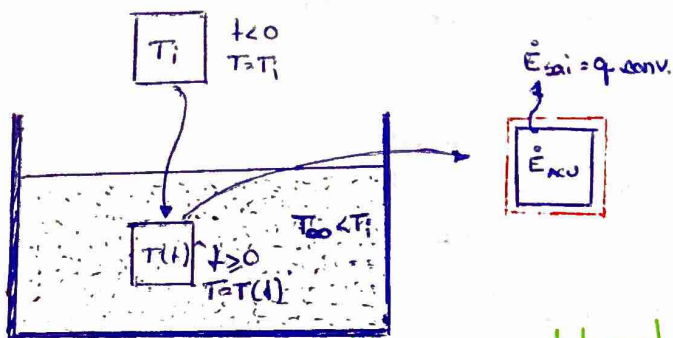
Como validaremos esta hipótese?

Número de Biot $B_i = \frac{R_{int}}{R_{ext}}$
 $B_i < 0,1$

Se $B_i < 1$, então R_{int} é muito pequeno.

A temperatura da superfície logo se espalha por todo corpo. Isso satisfaz a hipótese de que $\nabla T \approx 0$.

A utilização da Análise Concentrada é válida quando a resistência a condução da parede é pequena quando comparada a resistência a transferência de calor entre a parede e sua vizinhança.



Balanco de energia (1ª Lei da Termodinâmica) da temp.

$\dot{E}_{entra} - \dot{E}_{sai} = \dot{E}_{acc}$
 $\rightarrow -hA_s(T - T_{\infty}) = \frac{dE}{dt}$
 $\rightarrow -hA_s(T - T_{\infty}) = \rho V c \frac{dT}{dt}$
 $\rightarrow \frac{d\theta}{dt} \rho V c = -hA_s \theta$
 $\rightarrow \frac{d\theta}{dt} = -\frac{hA_s}{\rho V c} \theta \rightarrow \frac{d\theta}{\theta} = -\frac{hA_s}{\rho V c} dt$

Integrando:

$\int_{\theta_i}^{\theta} \frac{d\theta}{\theta} = -\frac{hA_s}{\rho V c} \int_0^t dt \rightarrow \ln \frac{\theta}{\theta_i} = -\frac{hA_s}{\rho V c} t \rightarrow$
 $\theta = \theta_i e^{-\frac{hA_s}{\rho V c} t}$

excesso de temperatura inicial do bloco

$\frac{\theta}{\theta_i} = \frac{T - T_{\infty}}{T_i - T_{\infty}} = e^{-\frac{hA_s}{\rho V c} t} = e^{-\frac{t}{R_t C_t}}$, onde

$R_t = \frac{1}{hA_s}$ e $C_t = \rho V c$

Resistência a transf. de calor por convecção global do sólido. Capacitância térmica global do sólido.

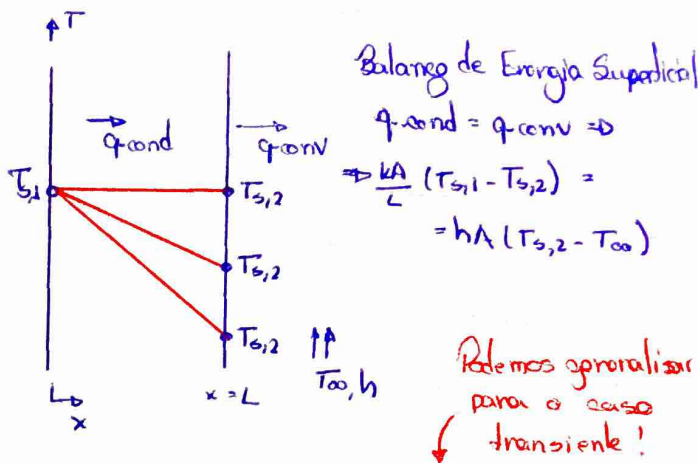
Também podemos definir $\tau = R_t C_t = \frac{\rho V c}{hA_s}$

Constante de tempo térmica

quanto maior a cte de tempo, maior será o tempo que o sistema vai demorar para responder a uma mudança no ambiente.

Validação do Método

Consideremos um problema estacionário de parede plana:



Balanco de Energia Superficial
 $q_{cond} = q_{conv} \Rightarrow$
 $\frac{kA}{L} (T_{s,1} - T_{s,2}) = hA (T_{s,2} - T_{\infty})$

Podemos generalizar para o caso transiente!

$B_i = \frac{T_{s,1} - T_{s,2}}{T_{s,2} - T_{\infty}} = \frac{L/kA}{1/hA} = \frac{R_{t,cond}}{R_{t,conv}}$

Adimensional

Análise Concentrada é válida quando

$B_i \ll 1 (B_i < 0,1)$

é a resistência a conv. é muito mais significativa do que a resistência a cond. então a análise concentrada é válida!

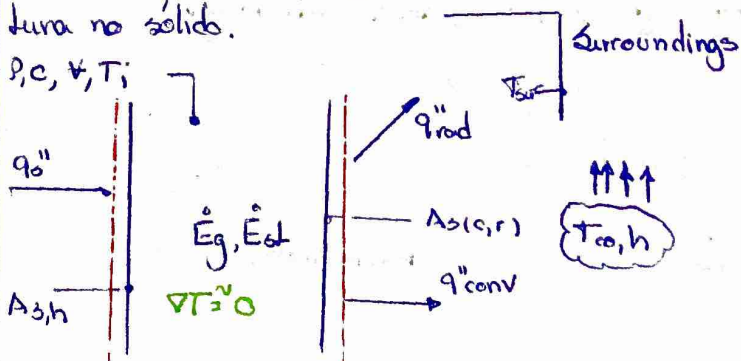
De forma geral, o número de Biot é dado por:

$B_i = \frac{hL_c}{k}$ é o comprimento característico!

Na Análise Concentrada é definida como a razão entre o volume do sólido e sua área superficial. (V/A_s).

Análise Geral

Vamos considerar escossas em que temos perda por radiação, temos energia gerada e temos alguma fonte de potência induzindo variação de temperatura no sólido.



Balanco de energia:

$$\frac{dEst}{dt} = \rho V c \frac{dT}{dt} = \dot{E}_{in} - \dot{E}_{out} + \dot{E}_g \rightarrow$$

$$\rho V c \frac{dT}{dt} = q_0'' A_s h - [h(T - T_{\infty}) - \epsilon \sigma (T^4 - T_{sur}^4)] A_{s,c} + \dot{E}_g$$

Caso particular: somente radiação
 ↳ sem imposição de fluxo térmico ou geração interna.

$$\rho V c \frac{dT}{dt} = -\epsilon \sigma A_s (T^4 - T_{sur}^4) \rightarrow$$

$$\rho V c \frac{dT}{T^4 - T_{sur}^4} = -\epsilon \sigma A_s dt$$

Integrando: $\frac{\epsilon \sigma A_s}{\rho V c} \int_0^t dt = \int_{T_i}^T \frac{dT}{T_{sur}^4 - T^4} \rightarrow$

$$f = \frac{\rho V c}{4 \epsilon \sigma A_s T_{sur}^3} \left\{ \ln \left| \frac{T_{sur} + T}{T_{sur} - T} \right| - \ln \left| \frac{T_{sur} + T_i}{T_{sur} - T_i} \right| + 2 \left[\operatorname{arccot} \left(\frac{T}{T_{sur}} \right) - \operatorname{arccot} \left(\frac{T_i}{T_{sur}} \right) \right] \right\}$$

Não conseguimos obter T de forma explícita!

Caso particular: radiação desprezível.

$$\rho V c \frac{dT}{dt} = q_0'' A_s h - h A_{s,c} (T - T_{\infty}) + \dot{E}_g$$

$$a = h A_{s,c} / \rho V c \quad b = (q_0'' A_s h + \dot{E}_g) / \rho V c \quad \frac{dT}{dt} = -a(T - T_{\infty}) + b$$

$$\theta = T - T_{\infty} \Rightarrow \frac{d\theta}{dt} = -a\theta + b$$

$$\theta' = \theta - \frac{b}{a} \Rightarrow \frac{d\theta'}{dt} = -a\theta'$$

Integrando: $\frac{d\theta'}{\theta'} = -a dt \rightarrow \int_{\theta'_i}^{\theta'} \frac{d\theta'}{\theta'} = \int_0^t -a dt \rightarrow$

$$\theta' = \theta_i' e^{-at} \Rightarrow \frac{\theta - \frac{b}{a}}{\theta_i - \frac{b}{a}} = e^{-at} \rightarrow$$

$$\theta = \theta_i e^{-at} + \frac{b}{a} (1 - e^{-at}) \rightarrow$$

$$\frac{\theta}{\theta_i} = e^{-at} + \frac{b}{a} (1 - e^{-at}) \frac{1}{\theta_i} \rightarrow$$

$$\frac{T - T_{\infty}}{T_i - T_{\infty}} = e^{-at} + \frac{b/a}{T_i - T_{\infty}} (1 - e^{-at}), \text{ onde}$$

$$a = \frac{h A_{s,c}}{\rho V c} \quad e \quad b = \frac{q_0'' A_s h + \dot{E}_g}{\rho V c}$$

A temperatura de equilíbrio será:

$$\frac{T_s - T_{\infty}}{T_i - T_{\infty}} = \lim_{t \rightarrow \infty} \left\{ e^{-at} + \frac{b/a}{T_i - T_{\infty}} (1 - e^{-at}) \right\} \Rightarrow$$

$$\frac{T_s - T_{\infty}}{T_i - T_{\infty}} = \frac{b/a}{T_i - T_{\infty}} \Rightarrow T_s = T_{\infty} + \frac{b}{a} \Rightarrow$$

$$T_s = T_{\infty} + \frac{q_0'' A_s h + \dot{E}_g}{h A_{s,c}}$$

Obs: para o número de Biot:

• Placa de espessura 2L: $L_c = \frac{2LA_s}{2A_s} = L$

• Cilindro de raio r: $L_c = \frac{\pi r^2 L}{2\pi r L} = \frac{r}{2}$

• Esfera de raio r: $L_c = \frac{4}{3} \cdot \frac{\pi r^3}{4\pi r^2} = \frac{r}{3}$

Calor transferido:

$$\Delta Est = -Q = - \int_0^t \dot{E}_{out} dt \rightarrow$$

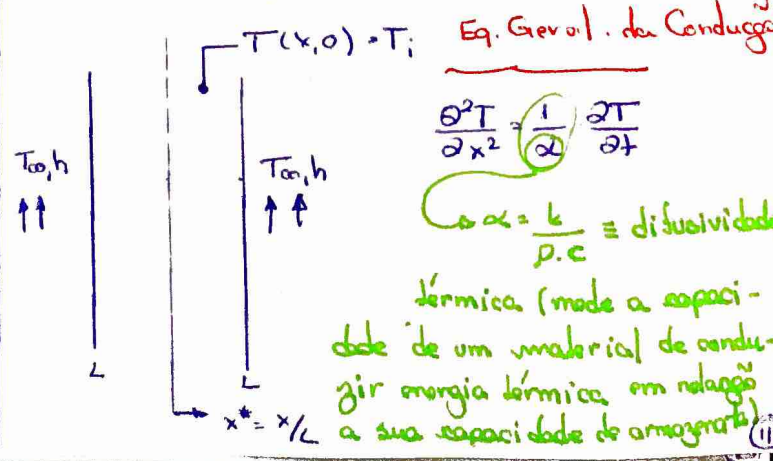
$$\Delta Est = -h A_s \int_0^t \theta dt \rightarrow$$

$$\Delta Est = (\rho V c) (T_{\infty} - T_i) \left[1 - e^{-t/\tau} \right]$$

Efeitos Espaciais

Utilizaremos quando o número de Biot não for pequeno e suficiente! ($Bi < 1$; $Bi < 0,1$)

Para uma parede plana com convecção e simetria:



Condições de Contorno:

- $T(x,0) = T_i$ *→ prevê distribuição de temperatura uniforme em $t=0$*
- $\frac{\partial T}{\partial x} \Big|_{x=0} = 0$ *→ simetria*
- $-k \frac{\partial T}{\partial x} \Big|_{x=L} = h[T(L,t) - T_{\infty}]$

A resposta da EDP depende de uma série de parâmetros físicos:

$$T = T(x, t, T_i, T_{\infty}, L, k, \alpha, h)$$

Vamos adimensionalizar a EDP para diminuir a dependência destes parâmetros físicos. Desta forma, obteremos uma solução mais simples com menor dependência de parâmetros particulares.

Adimensionalizando a EDP:

- temperatura adimensional: $\theta^* \equiv \frac{\theta}{\theta_i} = \frac{T - T_{\infty}}{T_i - T_{\infty}}$
- coordenada adimensional: $x^* = \frac{x}{L}$ *→ metade da espessura da parede plana.*
- tempo adimensional (número de Fourier): $t^* \equiv \frac{\alpha t}{L^2} = Fo$
- número de Biot: $Bi \equiv \frac{hL}{k}$

Fazendo as substituições:

agora, o número de Biot não é dado pela razão de volume sobre a área!

$$\frac{\partial^2 \theta^*}{\partial x^{*2}} = \frac{\partial \theta^*}{\partial Fo}$$

cc:

- $\theta^*(x^*, 0) = 1$
- $\frac{\partial \theta^*}{\partial x^*} \Big|_{x^*=0} = 0$
- $-k \frac{\partial \theta^*}{\partial x^*} \Big|_{x^*=L} = -Bi \theta^*(1, Fo)$

A solução terá forma:

$$\theta^* = f(x^*, Fo, Bi)$$

redução da redução de valores físicos particulares.

A solução exata para a parede plana é:

$$\theta^* = \sum_{n=1}^{\infty} C_n e^{(-\xi_n^2 Fo)} \cos(\xi_n x^*), \text{ com}$$

$$C_n = \frac{4 \sin \xi_n}{2 \xi_n + \sin(2 \xi_n)} \text{ e } \xi_n \tan \xi_n = Bi$$

→ autovalores de ξ_n são raízes da eq. tr.

Podemos demonstrar que para $Fo > 0,2$ podemos aproximar a solução por:

$$\theta^* = C_1 e^{(-\xi_1^2 Fo)} \cos(\xi_1 x^*)$$

$$\theta^* = \theta_0^* \cos(\xi_1 x^*)$$

Podemos encontrar os valores de C_1 e ξ_1 (tabelados) a partir de Bi .

Variação de Energia: parede plana

Calor total transferido: $\Delta Est = -Q$

$$Q = -[E(t) - E(0)] = - \int \rho c [T(x,t) - T_i] dV$$

Adimensionalizamos!

$$\frac{Q}{Q_0} = -\frac{1}{V} \int_0^t \left[\frac{T(x,t) - T_i}{T_i - T_{\infty}} \right] dV \Rightarrow$$

$Q_0 = \rho c V (T_i - T_{\infty})$ → energia interna inicial da parede em relação à temperatura do fluido

$$\frac{Q}{Q_0} = \frac{1}{V} \int_0^t (1 - \theta^*) dV \Rightarrow Q = Q_0 \left(1 - \frac{\sin \xi_1 \theta^*}{\xi_1} \right)$$

→ usar a tabela

Cilindro:

Solução exata:

$$\theta^* = \sum_{n=1}^{\infty} C_n e^{-\xi_n^2 Fo} J_0(\xi_n r^*)$$

→ Função de Bessel de primeira espécie

onde $C_n = \frac{2}{\xi_n} \frac{J_1(\xi_n)}{J_0^2(\xi_n) + J_1^2(\xi_n)}$ e $Fo = \frac{\alpha t}{r_0^2}$

Os autovalores de ξ_n são:

$$\xi_n \frac{J_1(\xi_n)}{J_0(\xi_n)} = Bi \rightarrow Bi = \frac{hr_0}{k}$$

Se $Fo > 0,2$:

$$\theta^* = C_1 e^{(-\xi_1^2 Fo)} J_0(\xi_1 r^*) \Rightarrow$$

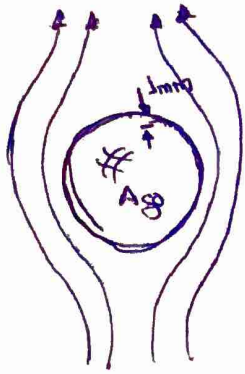
$$\theta^* = \theta_0^* J_0(\xi_1 r^*)$$

O calor transferido é dado por:

$$\frac{Q}{Q_0} = 1 - \frac{2\theta_0^*}{\xi_1} J_1(\xi_1)$$

→ Também é uma função de Bessel de primeira espécie.

Exemplo 1 (5.57 - 6ed)



$c = 500 \text{ J/kgK}$
 $\rho = 700 \text{ kg/m}^3$
 $k = 50 \text{ W/mK}$
 $T(9\text{mm}, t) = 1000\text{K}$
 $Q = 0,020 \text{ m}$
 $T_i = 300\text{K}$

$T_\infty = 1300\text{K}$
 $h = 5000 \text{ W/m}^2\text{K}$

Solução:

Análise concentrada?

$Bi = \frac{h \cdot r_0}{k} = \frac{5000 \cdot 0,010}{50} = 0,33 \dots$

$Bi = \frac{h \cdot r_0}{k} = \frac{5000 \cdot 0,010}{50} = 1,0$

$\theta^* = c_1 \cdot e^{-\zeta_1^2 Fo} \cdot \frac{1}{\zeta_1 r^*} \sin(\zeta_1 r^*) \Rightarrow$

$\Rightarrow Fo = -\frac{1}{\zeta_1^2} \cdot \ln \left[\frac{\theta^*}{c_1} \cdot \zeta_1 r^* \sin(\zeta_1 r^*) \right]$

Lembrando que:

$Fo = \frac{\alpha t}{L^2} = \frac{\alpha t}{r_0^2} \therefore \alpha = \frac{k}{\rho c} = \frac{50}{700 \cdot 500} = 1,28 \cdot 10^{-4} \frac{\text{m}^2}{\text{s}}$

Tab 5.1 $\rightarrow Bi = 1,0 \left\{ \begin{array}{l} \zeta_1 = 1,5708 \\ C_1 = 1,2732 \end{array} \right.$

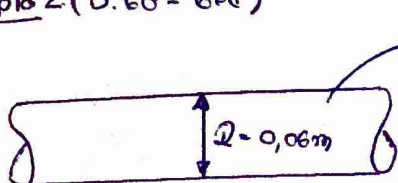
$Fo = \frac{-1}{(1,5708)^2} \cdot \ln \left[\frac{1000 - 1300}{300 - 1300} \cdot \frac{1}{1,2732} \cdot \sin(1,5708 \cdot 0,01) \right]$

$= 0,441 \Rightarrow t = \frac{0,441 \cdot 0,01^2}{1,28 \cdot 10^{-5}} = 3,4 \text{ s}$

Fluxo de calor no instante 3,4s

$q_r''(r_0^*, 0,441) = h(T(r_0, 3,4) - T_\infty)$

Exemplo 2 (5.60 - 6ed)



$h = 1000 \text{ W/m}^2\text{K}$
 $T_\infty = 750\text{K}$

$\rho = 800 \text{ kg/m}^3$
 $c = 500 \text{ J/kgK}$
 $k = 50 \text{ W/mK}$

$T(r^*=0, t) \leftrightarrow T(r^*=1, t) = 550\text{K}$

Análise concentrada:

$Bi = \frac{h \cdot r_0/2}{k} = \frac{1000 \cdot 0,06/4}{50} = 0,3 > 0,1$

$Bi = \frac{h \cdot r_0}{k} = \frac{1000 \cdot 0,3}{50} = 0,6$

Tab 5.1 (cilindro) $\left\{ \begin{array}{l} \zeta_1 = 1,0185 \\ C_1 = 1,346 \end{array} \right.$

$\theta^* = \frac{T - T_\infty}{T_i - T_\infty} = \underbrace{C_1 \cdot \exp(-\zeta_1^2 Fo)}_{\theta_0^*} \cdot \underbrace{J_0(\zeta_1 r^*)}_{\text{tabela}}$

$\frac{\theta^*}{\theta_0^*} = J_0(\zeta_1 r^*) \Rightarrow J_0 = 0,7652$

$\frac{550 - 1300}{T_i - 750} = \frac{550 - 750}{T(r^*=0, t) - 750} = 0,7652 \Rightarrow$

$\Rightarrow T(r^*=0, t) = 488\text{K}$

Estera:

Solução exata:

$\theta^* = \sum_{n=1}^{\infty} C_n \cdot e^{-\zeta_n^2 Fo} \cdot \frac{1}{\zeta_n r^*} \sin(\zeta_n r^*)$

com $C_n = \frac{4 [\sin(\zeta_n) - \zeta_n \cos(\zeta_n)]}{2\zeta_n - \sin(2\zeta_n)}$

$Fo = \frac{\alpha t}{r_0^2}$

Os valores de ζ_n são dados por:

$1 - \zeta_n \cotg \zeta_n = Bi \quad Bi = \frac{h r_0}{k}$

Solução aproximada:

$\theta^* = C_1 e^{-\zeta_1^2 Fo} \cdot \frac{1}{\zeta_1 r^*} \sin(\zeta_1 r^*) \Rightarrow$

$\Rightarrow \theta^* = \theta_0^* \cdot \frac{1}{\zeta_1 r^*} \sin(\zeta_1 r^*)$

\rightarrow Sólido semi-infinib:

O domínio é limitado por um lado e se estende

indefinidamente pelo outro.

↳ Pode ser usado para aproximar soluções de problemas em RT com sólidos finitos onde $F_{0,2}$ ou seja, evitamos a utilização da solução exata!

Feita esta aproximação, podemos encontrar soluções analíticas para o problema a partir de 3 casos:

• Caso 1: Temperatura na superfície constante

$$T(0,t) = T_s \text{ e } T(x,0) = T_i$$

$$\frac{T(x,t) - T_s}{T_i - T_s} = \operatorname{erf}\left(\frac{x}{2\sqrt{\alpha t}}\right)$$

$$q_s'' = \frac{k(T_s - T_i)}{\sqrt{\pi \alpha t}}$$

↳ Fluxo na superfície!

• Caso 2: Fluxo térmico na superfície de

$$T(x,0) = T_i$$

$$-k \frac{\partial T}{\partial x} \Big|_{x=0} = q_0'' = q_s''$$

$$T(x,t) - T_i = \frac{2q_0'' (\alpha t / \pi)^{1/2}}{k} e^{-x^2/4\alpha t} - \frac{q_0'' x}{k} \operatorname{erfc}\left(\frac{x}{2\sqrt{\alpha t}}\right)$$

↳ Função erro complementar: $1 - \operatorname{erf}(x)$

• Caso 3: Convecção na superfície:

$$T(x,0) = T_i$$

$$-k \frac{\partial T}{\partial x} \Big|_{x=0} = h [T_\infty - T(0,t)]$$

$$\frac{T(x,t) - T_i}{T_\infty - T_i} = \operatorname{erfc}\left(\frac{x}{2\sqrt{\alpha t}}\right) - \left[e^{\frac{hx}{k} + \frac{h^2 \alpha t}{k^2}} \right] \left[\operatorname{erfc}\left(\frac{x}{2\sqrt{\alpha t}} + \frac{h\sqrt{\alpha t}}{k}\right) \right]$$

Como verificar se posso usar a aproximação por um sólido semi-infinito?

$$\delta_p = 2,3 \cdot \sqrt{\alpha t^2}$$

Espessura de penetração térmica

Profundidade até a qual efeitos significativos na temperatura se propagam no meio.

Basta comparar com as dimensões do sólido para validar a aproximação!

Caso tenhamos contato entre dois sólidos semi-infinitos A e B:

$$T_0 = \frac{(k\rho c)_A^{1/2} T_{A,i} + (k\rho c)_B^{1/2} T_{B,i}}{(k\rho c)_A^{1/2} + (k\rho c)_B^{1/2}}$$